

(株)神戸製鋼所 正員 波田 凱 夫

### 1. 概説

曲げをうけるはりの横倒れ座屈の問題は、ふつう座屈に至るまではりの軸線は荷重の作用面内で変形しないとの仮定のもとに解かれている。しかしながら、図1に示したように荷重が漸増していくと、はりはまず荷重の作用面内での変形を生じ、その後荷重がある限界値に達してはじめて横倒れ座屈をおこすというのが実際の過程である。本文は座屈に至るまでのこのような変形が座屈荷重の値にどのような影響を及ぼすかを理論的に考察したものである。

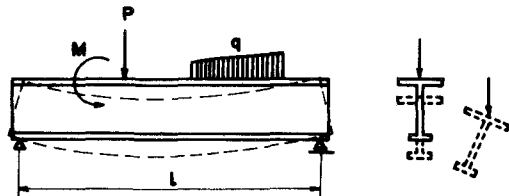


図1 はりの横倒れ座屈変形

この種の問題のもっとも簡単なもの(純曲げをうける長方形断面はり)はすでに Federhofer<sup>1)</sup>, Chwalla<sup>2),3)</sup> らによって解かれている。また最近では Unger<sup>4)</sup> が還元法の応用によって若干の計算例を示しているが、一般的に曲げ変形の影響を論ずるには至っていない。

図1 はりの横倒れ座屈変形

本文は2次弾性解析の理論<sup>5)</sup>によって、一軸対称断面はりの一般の場合の基礎方程式を誘導し、数値計算によって上記の特性を明らかにせんとするものである。

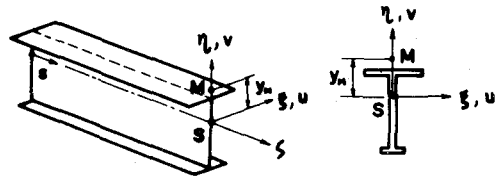


図2 断面と座標系

### 2. 基礎方程式の誘導

図2に計算に用いられた座標系を示す。図

において、Sは図心、Mはせん断中心、u, vはそれぞれξ, η方向の変位をあらわす。また図3において、AB, A'B'はそれぞれ変形前後の単位長はり要素の軸線を、M, Qは断面力をまたm, qは一般の荷重をあらわす。ここで変形後のはり要素の釣合に關してはいわゆる Kirchhoff-Clebschの釣合条件式<sup>5)</sup>が成立する。すなわち、

$$\left. \begin{aligned} Q'_\xi - K_\xi Q_\eta + K_\eta Q'_\xi &= -q_\xi, & Q'_\eta - K_\xi Q_\xi + K_\xi Q'_\xi &= -q_\eta, & Q'_\xi - K_\eta Q_\xi + K_\xi Q'_\eta &= -q_\xi & (1)_{a-f} \\ M'_\xi - K_\xi M_\eta + K_\eta M'_\xi &= Q_\eta - m_\xi, & M'_\eta - K_\xi M_\xi + K_\xi M'_\xi &= -Q_\xi - m_\eta, & M'_\xi - K_\eta M_\xi + K_\xi M'_\eta &= -m_\xi \end{aligned} \right\}$$

ただし、 $K_\xi, K_\eta$ はそれぞれξ, η軸まわりの曲率、 $K_\xi$ はξ軸まわりのねじり率である。(1)より  $Q_\xi, Q_\eta$ を消去し、さらに軸力の影響を無視して  $Q_\xi = 0$  とおくと

$$-M''_\eta + (K_\xi M'_\xi)' - (K_\xi M'_\xi)' - K_\xi M'_\xi = -q_\xi + m'_\eta + K_\xi m_\xi, \quad M'_\xi - K_\eta M'_\xi + K_\xi M'_\eta = -m_\xi \quad (2)_{a,b}$$

となる。ただし計算の過程で曲率、ねじり率の二次以上の項は微小として省略した。

つぎに  $K_\xi, K_\eta, K_\xi$ は2次弾性解析理論によりつぎのように与えられる<sup>5)</sup>。

$$K_\xi = -v'' - \beta u'', \quad K_\eta = u'' + \beta v'', \quad K_\xi = \beta' - u'v'' \quad (3)_{a-c}$$

いづれも才2項は非線型項である。さらに断面力についても非線型項を考慮し<sup>5)</sup>

$$\left. \begin{aligned} M_\xi &= EI_x [\beta \{ (y_m \beta)'' - u'' \} - v''] = -EI_x v'' \\ M_\eta &= EI_y [\beta v'' + u'' - (y_m \beta)'''] \\ M_\zeta &= \overline{GJ_d} [\beta' - v'' \{ u' - (y_m \beta)' \}] - y_m Q_\zeta \\ &\quad - EC_w [\beta''' - \{ v'' (u' - (y_m \beta)') \}'' - y_m Q_\zeta] \\ Q_\xi &= -M'_\eta + K_\xi M_\xi - K_\zeta M_\zeta - m_\eta \end{aligned} \right\} (4)_{a-d}$$

を得る。ただし、 $\overline{GJ_d} = GJ_d + k_x M_\xi$  であり、 $GJ_d$  は St. Venant のねじり剛性、 $k_x$  は断面固有の定数  $k_x = [\int y(x^2 + y^2) dF] / I_x$  であり、 $EI_x, EI_y$  はそれぞれ  $x, y$  軸まわりの曲げ剛性、 $EC_w$  はせん断中心に関する曲げねじり剛性である。

最も一般の場合の基礎方程式は上記 (2), (3), (4) より  $M_\xi, M_\eta, M_\zeta, Q_\xi$  を消去するとによって得られるが、以下簡単のため、断面がばりの全長を通じて一定の場合について考察する。

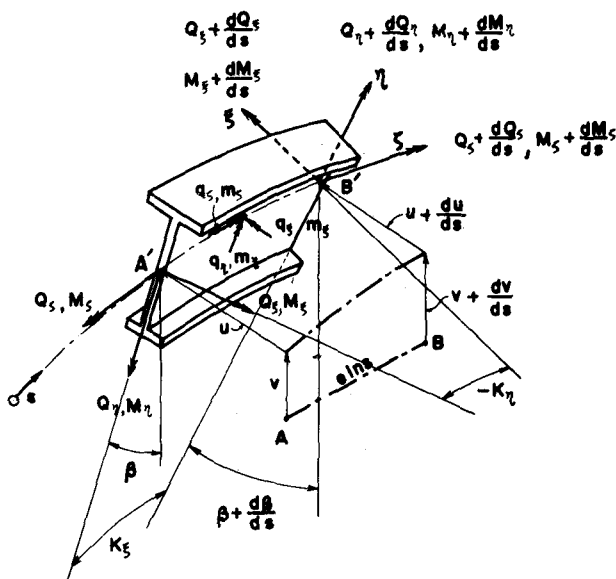


図3 ばり要素の変形と断面力

$$\left. \begin{aligned} (3)_a \text{ において } K_\xi &\equiv -v''', (4)_a \text{ より } v'' = -M_\xi / EI_x \text{ とし } v \text{ を消去し, (4) を (2) に代入すると} \\ \left\{ \begin{aligned} &y_m EI_y (1 - y_m \rho) - EC_w (1 - y_m \rho) \beta'''' - \{ y_m^2 EI_y \rho' - EC_w \rho (2 y_m \rho - 1) \} \beta'''' + \{ y_m EC_w (3 \rho^2 + 2 \rho') + (a + b - 1)(1 - y_m \rho) M_\xi \} \beta'' \\ &+ \{ y_m EC_w (\rho \rho') + (2 - 3a - 2b) y_m \rho - (2 - 2a - b) M_\xi \} \beta' - EI_y \{ y_m (\rho \rho') - \rho'' \} \beta \\ &- \{ EI_y (1 - y_m \rho) + EC_w \rho^2 \} u'''' + \{ y_m EI_y - 4 EC_w \rho \} \rho' u'''' - \{ EC_w (3 \rho^2 + 2 \rho') - (b - 1 + y_m \rho) \rho M_\xi \} u'' \\ &- \{ EC_w (\rho \rho') - (2b - 3 + 3 y_m \rho) \rho M_\xi \} u' = -q_\xi + K_\xi m_\xi + m'_\eta - y_m (m_\eta M_\xi)' / EI_x \\ &- \{ y_m^2 EI_y + EC_w (1 - y_m \rho) \} \beta'''' + 3 y_m EC_w \rho \beta'''' + \{ \overline{GJ_d} + 3 y_m EC_w \rho + y_m (1 - 2a - b) M_\xi \} \beta'' + \{ y_m EC_w \rho^2 + y_m (1 - 2a - b) M_\xi \} \beta' \\ &- \{ y_m EI_y \rho'' - \rho M_\xi (1 - a) \} \beta + \{ y_m EI_y - EC_w \rho \} u'''' - 3 EC_w \rho' u'''' + \{ \rho (\overline{GJ_d} + EI_y + y_m M_\xi) - M_\xi - 3 EC_w \rho'' \} u'' \\ &+ \{ \rho' (\overline{GJ_d} + 2 y_m M_\xi) - EC_w \rho''' \} u' = -m_\zeta \end{aligned} \right\} (5)_{a,b} \end{aligned}$$

ただし、 $\rho = M_\xi / EI_x$ ,  $a = EI_y / EI_x$ ,  $b = (GJ_d + k_x M_\xi) / EI_x$ ,  $(\cdot)' = d/ds$  である。これが断面一定のばりに関する一般の基礎方程式である。

さらに簡単の場合として、純曲げを受けるばりの横倒れ座屈の問題を考えると、 $M_\xi = M = \text{Const}$  であり、さらに (5)<sub>a,b</sub> の右辺荷重項はすべて 0 と取るから、基礎式はつぎのようになる。

$$\left. \begin{aligned} &\{ \nu_n - (n + \nu_n^2) \kappa \lambda + n \nu_n \kappa^2 \lambda^2 \} \beta'''' + \{ (\kappa + m \kappa - 1) \lambda + (r_x + \nu_n - \nu_n \kappa - m \nu_n \kappa) \kappa \lambda^2 - \nu_n r_x \kappa^2 \lambda^3 \} \beta'' \\ &- (1 - \nu_n \kappa \lambda + n \kappa^2 \lambda^2) \theta'''' + \{ (m \kappa - 1) \kappa \lambda^2 + (r_x + \nu_n) \kappa^2 \lambda^3 \} \theta'' = 0 \\ &- (\nu_n^2 + n - \nu_n n \kappa \lambda) \beta'' + \{ m + (r_x + \nu_n - 2 \nu_n \kappa - m \nu_n \kappa) \lambda - r_x \nu_n \kappa \lambda^2 \} \beta' + (1 - \kappa) \kappa \lambda^2 \beta \\ &+ (\nu_n - n \kappa \lambda) \theta'' + \{ (\kappa + m \kappa - 1) \lambda + (\nu_n + r_x) \kappa \lambda^2 \} \theta' = 0 \end{aligned} \right\} (6)_{a,b}$$

ただし、式 (6) はすべて無次元表示されており、 $m = GJ_d / EI_y$ ,  $n = EC_w / l^2 EI_y$ ,  $\kappa = EI_y / EI_x$ ,  $\lambda = M l / EI_y$ ,  $\nu_n = y_m / l$ ,  $r_x = k_x / l$ ,  $\theta = u / l$  である。さらに微分記号  $(\cdot)'$  は  $d/ds$  をあらわす。ここに  $\sigma = s / l$  である。

### 3. 基礎方程式の解

式(6)を境界条件

$$s=0.1; \theta=\theta'=\beta=\beta'=0 \quad (7)$$

のもとにとく。この条件は、はりの両端で側方変形に対して単純支持、および断面のせり自由なることを意味する。もっとも簡単なのは  $n=\nu_H=r_x=0$  の場合であつて、これは Chwalla<sup>2)</sup> が扱つた問題であるが、(6)を(7)のもとにとくと座屈係数  $\lambda_{kr}$  は

$$\lambda_{kr} = \pi\sqrt{m} / \sqrt{(1-\kappa)(1-m\kappa)} \quad (8)$$

これに対して Chwalla の解は

$$\lambda_{kr} = \pi\sqrt{m} / \sqrt{(1-\kappa)(1-2m\kappa)} \quad (8')$$

である。(8)と(8')の相異はつぎの奥に起因する。すなわち文献2では Kirchhoff-Clebsch の釣合方程式を用いるにあつて、ねじり率  $K_y$  に荷重面内曲率の影響を考慮してゐない。このため、やや過大な(8')の値が得られてゐるのである。

さて(6)の一般解を

$$\theta = \Theta \sin i\pi x, \quad \beta = B \sin i\pi x \quad (i=1, 2, \dots)$$

とし、これらを(6)に代入すると

⊖, B に関する同次連立方程式が得られる。すなわち  $\bar{m} = m + i^2\pi^2 n$  とし、

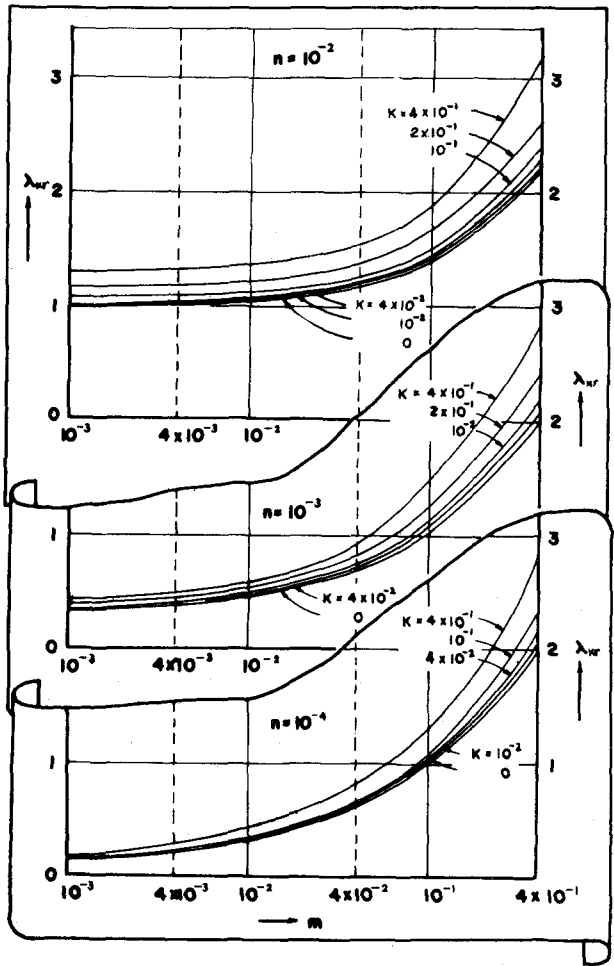


図4 座屈係数(その一)

B	⊖	
$\nu_H(1-\nu_H\kappa\lambda)^2 i^2 \pi^2 \{(\kappa+\bar{m}\kappa-1)\lambda + (r_x + \nu_H - \nu_H\kappa - \bar{m}\nu_H\kappa)\kappa\lambda^2 - \nu_H r_x \kappa^2 \lambda^3\}$	$-(1-\nu_H\kappa\lambda) i^2 \pi^2 \{(\bar{m}\kappa-1)\kappa\lambda^2 + (\nu_H + r_x)\kappa^2 \lambda^3\}$	0 (9) <sub>a,b</sub>
$-\nu_H i^2 \pi^2 \{\bar{m} + (r_x + \nu_H - 2\nu_H\kappa - \bar{m}\nu_H\kappa)\lambda + r_x \nu_H \kappa \lambda^2\} i^2 \pi^2 + (1-\kappa)\kappa\lambda^2$	$\nu_H i^2 \pi^4 \{(\kappa+\bar{m}\kappa-1)\lambda + (\nu_H + r_x)\kappa\lambda^2\} i^2 \pi^2$	0

$B \neq 0$ ,  $\Theta \neq 0$  なるためには(9)の係数行列式が0となつなければならぬことから、座屈係数  $\lambda_{kr}$  は次式の最小正根として与えられる。

$$-\bar{m}\pi^4 - (r_x - \nu_H)\pi^4 \lambda + (1-\kappa - \bar{m}\kappa + 2\bar{m}\kappa^2 - \nu_H^2 \kappa \pi^2)\pi^2 \lambda^2 - (\nu_H + r_x - 2\kappa r_x)\kappa \pi^2 \lambda^3 + \{1-\kappa(\bar{m}\kappa-1) + \nu_H \pi^2 \kappa\} \kappa^2 \lambda^4 + (\nu_H + r_x)(1-\kappa)\kappa^3 \lambda^5 = 0 \quad (10)$$

もちろん(10)で  $\nu_H = r_x = 0$ ,  $\bar{m} = m$  ( $n=0$ ) とした場合は(8)が得られ、また  $\kappa=0$  とした場合、はりの軸線の荷重作用面内での変形を考慮しない通常の結果が得られる。

### 4. 数値計算例

図4と図5に若干の数値計算結果を示す。図4では荷重面内曲率の影響をあらわす  $\kappa$  を

パラメータとして、座屈係数 $\lambda_{kr}$ の変化の様子をあらわしている。また、図5により $\kappa$ の増加につれて $\lambda_{kr}$ がどのような変化するかが読みとれる。これらの図はいずれも $r_x = v_H = 0$ の場合の結果を示しているが、これらが0でない場合でも(10)を解いて $\lambda_{kr}$ を得ることは容易である。

これらの図から一般に、(i)荷重面内曲率の影響をあらわす $\kappa$ が大となれば、座屈荷重は通常の値( $\kappa=0$ )より大となる(一種のアーチ作用)、(ii) $\kappa$ の影響は、 $m$ または $n$ の値が大になるほど(すなわち換算ねじり剛性 $\bar{m} = m + \pi^2 n$ が大になる)顕著にあらわれてくること、等が明らかである。さらに詳細な計算資料は講演会当日に補足する。

なお、境界条件として(7)以外の場合についても現在検討中である。結果は機会をあらためて報告する予定である。

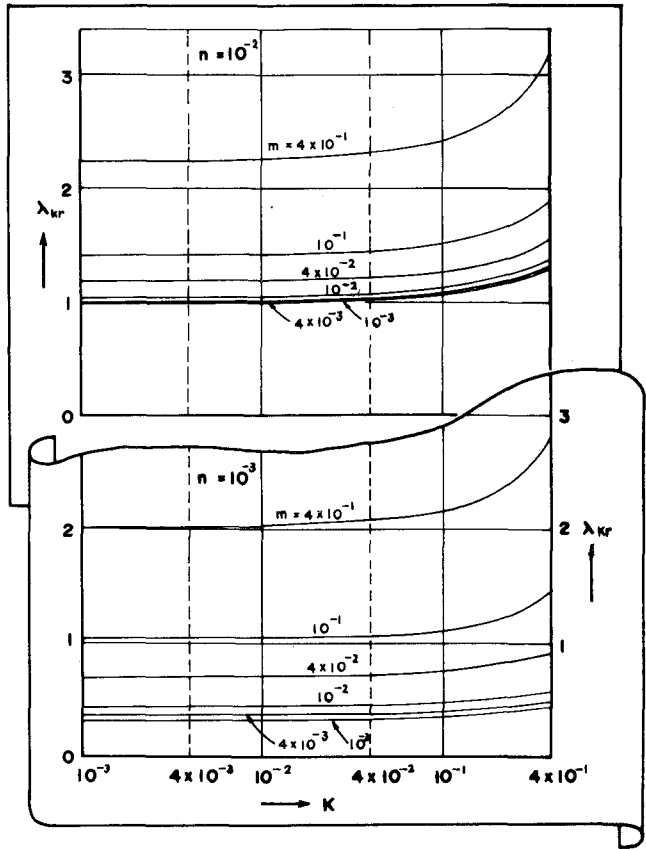


図5 座屈係数 ( $\kappa \neq 0$ )

### 参考文献

- 1) Federhofer, Neue Beiträge zur Berechnung der Kipplasten gerader Stäbe. Sitzungsberichte der Akademie der Wissenschaft, Wien 1931.
- 2) Chwalla, Die Kipp-Stabilität gerader Träger mit doppelt-symmetrischem I-Querschnitt. Forschungshefte aus dem Gebiete des Stahlbaues, H. 2, Berlin 1939.
- 3) Chwalla, Einige Ergebnisse der Theorie des außermittig gedrücktem Stabes mit dünnwandigem offenem Querschnitt, Forschungshefte aus dem Gebiete des Stahlbaues, H. 6, Berlin 1943.
- 4) Unger, Elastisches Kippen von beliebig gelagerten und aufgehängten Durchlaufträgern mit einfach-symmetrischem, in Trägerachse veränderlichem Querschnitt unter Verwendung einer Abwandlung des Reduktionsverfahren als Lösungsmethode, der Stahlbau, H. 6, 1970.
- 5) Namita, Die Theorie II. Ordnung von krummen Stäben und ihre Anwendung auf das Kipp-Problem des Bogenträgers, Transactions of JSCE, No. 155, July 1968.